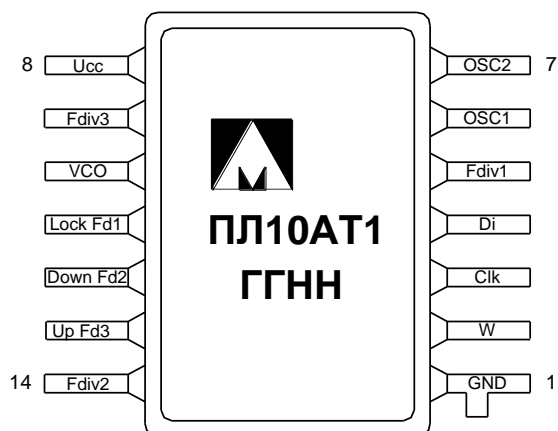




Микросхема синтезатора частоты 1508ПЛ10А(Б)Т1, К1508ПЛ10А(Б)Т1, К1508ПЛ10А(Б)Т1К



ГГ – год выпуска

НН – неделя выпуска

Основные характеристики микросхемы:

- Напряжение питания от 4,5 В до 5,5 В;
- Диапазон рабочих частот 10 МГц ÷ 1300 МГц;
- Диапазон опорных частот до 50 МГц;
- Коэффициент деления входной частоты:
 - для (К)1508ПЛ10А от 240 до 65535;
 - для (К)1508ПЛ10Б от 240 до 1048575.
- Коэффициент деления опорной частоты:
 - для (К)1508ПЛ10А: 100, 200, 400, 500, 800, 1000, 1600, 2000;
 - для (К)1508ПЛ10Б: 22 коэффициента деления от 10 до 2500.
- Температурный диапазон:

Обозначение	Диапазон
1508ПЛ10А(Б)Т1	минус 60 – 125 °С
К1508ПЛ10А(Б)Т1	минус 60 – 125 °С
К1508ПЛ10А(Б)Т1К	0 – 70 °С

Тип корпуса:

– 14-ти выводной металлокерамический корпус 4105.14-16.

Область применения микросхемы

Микросхемы 1508ПЛ10А(Б)Т1, К1508ПЛ10А(Б)Т1 и К1508ПЛ10А(Б)Т1К (далее по тексту 1508ПЛ10А(Б)) предназначены для построения блоков генераторов сигнала на основе фазовой автоподстройки частоты.

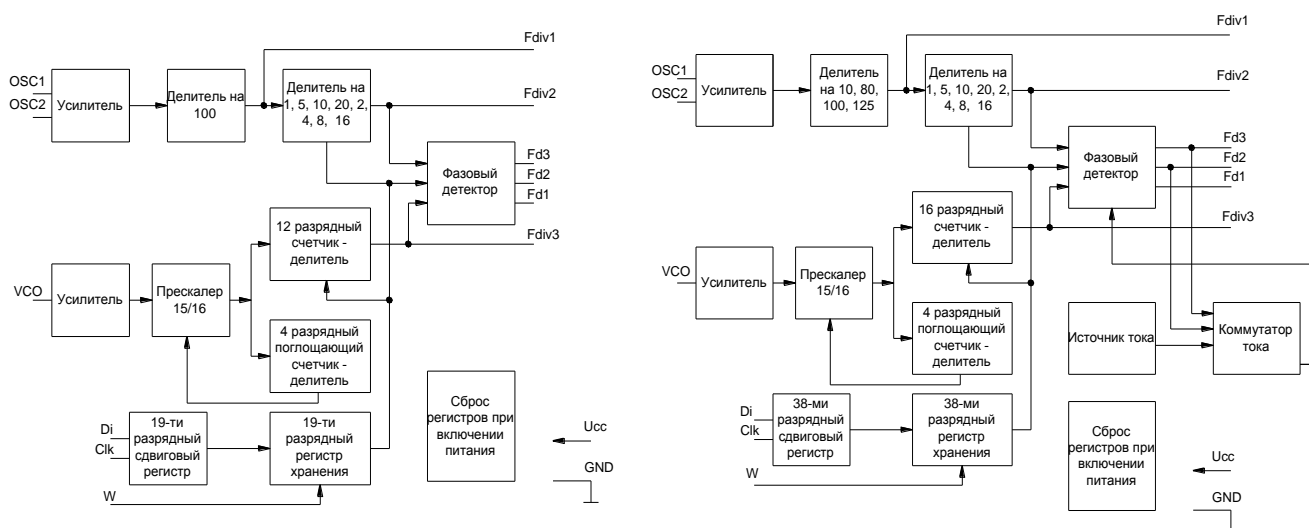
1 Описание выводов

Таблица 1 – Назначение выводов

Номер вывода корпуса	Обозначение сигнала	Функциональное назначение вывода
1	GND	Общий
2	W	Запись данных из сдвигового регистра в регистр хранения
3	Clk	Сигнал синхронизации ввода данных в сдвиговый регистр
4	Di	Ввод данных в сдвиговый регистр
5	Fdiv1	Выход делителя на 100 опорного канала 1508ПЛ10А - Выход с открытым стоком n-канал. 1508ПЛ10Б - Кок=0 выход с открытым стоком n-канал. Кок=1 КМОП – выход
6	OSC1	Вход кварцевого генератора
7	OSC2	Выход кварцевого генератора
8	Ucc	Напряжение питания
9	Fdiv3	1508ПЛ10А - Выход делителя основной частоты. Выход с открытым стоком n-канал. 1508ПЛ10Б - Вход\Выход делителя основной частоты При использовании в качестве выхода: Кок=0 выход с открытым стоком n-канал. Кок=1 КМОП – выход
10	VCO	Вход усилителя основной частоты
11	Fd1	Выход фазового детектора (Lock) 1508ПЛ10А - Выход с открытым стоком n-канал. 1508ПЛ10Б - Кок=0 выход с открытым стоком n-канал. Кок=1 КМОП – выход.
12	Fd2	Выход фазового детектора (Down) 1508ПЛ10А - Выход с открытым стоком n-канал. 1508ПЛ10Б - Кок=0 выход с открытым стоком n-канал. Кок=1 КМОП – выход
13	Fd3	Выход фазового детектора (Up) 1508ПЛ10А - Выход с открытым стоком p-канал, для контроля сигнала требуется подключение «подтягивающего» резистора к земле. 1508ПЛ10Б - Кок=0 выход с открытым стоком p-канал, для контроля сигнала требуется подключение «подтягивающего» резистора к земле. Кок=1 КМОП – выход
14	Fdiv2	1508ПЛ10А - Выход делителя опорного канала. Выход с открытым стоком n-канал. 1508ПЛ10Б - Вход\Выход делителя опорного канала. При использовании в качестве выхода: Кок=0 выход с открытым стоком n-канал. Кок=1 КМОП – выход

Примечание – При использовании выходов с открытым стоком n-канального транзистора необходимо подключить их к питанию микросхемы через «подтягивающий» резистор (исключение – вывод 13, который необходимо «подтянуть» к земле).

2 Структурные блок-схемы микросхем



Для микросхем 1508ПЛ10А

Для микросхем 1508ПЛ10Б

Рисунок 1 – Структурные блок-схемы

Примечание – Все элементы схемы имеют электрическую связь с соответствующими контактными площадками.

3 Указания по применению и эксплуатации

При ремонте аппаратуры и измерении параметров микросхем замену микросхем необходимо проводить только при отключенных источниках питания.

Инструмент для пайки (сварки) и монтажа не должен иметь потенциал, превышающий 0,3 В относительно шины «Общий».

Запрещается подведение каких-либо электрических сигналов (в том числе шин «Питание», «Общий») к выводам микросхем, не используемым согласно схеме электрической.

Типовая схема включения микросхем 1508ПЛ10А приведена на рисунке 5.

Типовые схемы включения микросхем 1508ПЛ10Б приведены на рисунках 5, 6 и 7.

При включении микросхем 1508ПЛ10Б по схеме, приведенной на рисунке 5, управляющие биты регистра команд должны иметь следующие значения $T_For_o = 0$, $Kz = 0$, $Kb = 0$, $Kp = 0$, $Kpo = 0$, $KIt = 0$. Значения остальных управляющих битов определяются разработчиком в соответствии с применяемым ГУН и требуемыми свойствами системы ФАПЧ в целом.

4 Описание функционирования микросхем

При использовании микросхем в синтезаторе частоты с фазовой автоподстройкой частота управляемого генератора определяется по формуле:

$$f = f_{REF} \cdot K / K_{REF}$$

где f – частота основного сигнала;
 f_{REF} – частота опорного сигнала;
 K – коэффициент деления основной частоты;
 K_{REF} – коэффициент деления опорной частоты.

Для микросхем 1508ПЛ10А(Б) возможны три способа, чтобы задать входной опорный сигнал:

- Генератором синусоидального сигнала амплитудой не менее 150 мВ (среднеквадратичное значение) через разделительный конденсатор 1 нФ на вход OSC1. Выход OSC2 не используется.
- Генератором цифровых сигналов напрямую на вход OSC1. Выход OSC2 не используется.
- Внешним кварцевым резонатором, который подключается к выводам OSC1 и OSC2. При этом не требуется дополнительных конденсаторов на землю. Рабочая частота кварцевого резонатора должна быть в пределах от 2 до 15 МГц.

5 Описание функционирования микросхемы 1508ПЛ10А

Коэффициент деления опорной частоты f_{REF} по входу OSC1 (6) задается через управляющее слово на входе Di (4) согласно таблице 4 (биты K_{REF2} , K_{REF1} , K_{REF0}). Коэффициент деления входной частоты по входу VCO (10) задается через управляющее слово на входе Di (4) разряды регистра 1–16. Распределение разрядов управляющего кода дано в таблице 2.

Примеры загружаемых слов даны в таблице 7.

Загрузка данных производится с помощью 19-ти разрядного слова. Загрузка начинается со старшего разряда коэффициента деления опорной частоты (K_{REF2}) и заканчивается младшим разрядом коэффициента деления основной частоты K_0 . Ввод каждого разряда сопровождается тактовым импульсом по входу Clk. Загрузка данных в регистре происходит по отрицательному фронту сигнала синхронизации. После окончания загрузки 19-ти разряда ввод управляющего кода производится по поступлению на вход W микросхемы импульса записи данных в регистр хранения. При этом количество тактовых импульсов по входу Clk может быть больше 19-ти, но значимыми разрядами будут последние 19.

После загрузки сдвигового регистра сигнал W выставляется в «1», при этом данные переписываются в регистр хранения. Временная диаграмма после загрузки данных приведена на рисунке 2.

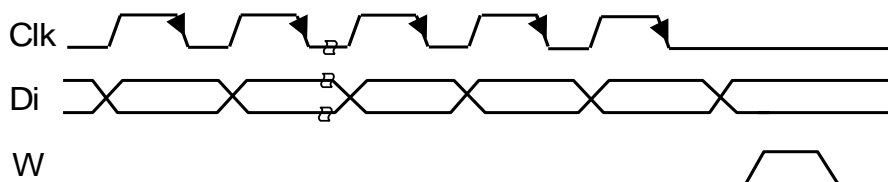


Рисунок 2 – Временная диаграмма загрузки данных в микросхему

5.1 Описание выводов микросхемы 1508ПЛ10А

- Вывод Fdiv1 – выход делителя опорной частоты с коэффициентом деления равным 100.
- Вывод Fdiv2 – выход делителя опорной частоты с заданным в управляющем регистре коэффициентом деления.
- Вывод Fdiv3 – выход делителя основной частоты с заданным в управляющем регистре коэффициентом деления.
- Вывод Fd1 – контрольный выход Lock фазового детектора.
- Вывод Fd2 – выход Down фазового детектора.
- Вывод Fd3 – выход Up фазового детектора.

Все выходы функционируют в режиме открытых стоков. Для контроля сигналов все выходы необходимо подключить через резистор на U_{CC} (кроме выхода Fd3 (Up), который необходимо подключить к шине «Общий»).

Номиналы резисторов выбираются исходя из значений выходных токов:

- для выходов Fdiv1, Fd3 (Up), Fd2 (Down) – выходной ток 0,8 мА (предельно допустимый резистор 4 кОм);
- для выходов Fdiv2, Fdiv3, Fd1 (Lock) – 1,6 мА (предельно допустимый резистор 2 кОм).

6 Описание функционирования микросхем 1508ПЛ10Б

Микросхема 1508ПЛ10Б имеет следующие особенности:

- расширенный коэффициент деления основного сигнала;
- расширенный коэффициент деления опорного сигнала;
- управление функцией входа/выхода f_{div2} , f_{div3} ;
- управление полярностью фазового детектора;
- управление токовым выходом фазового детектора;
- управление шириной мертвой зоны;
- управление выходами;
- управление режимом работы генератора опорного сигнала.

6.1 Расширенный коэффициент деления основного сигнала

Коэффициент деления входной частоты по входу VCO (10) задается через управляющее слово на входе D_i (4) разряды регистра 1 – 16, 20 – 23. Распределение управляющих разрядов дано в таблице 2.

Загрузка данных производится с помощью 38-ми разрядного слова. Загрузка начинается со старшего 38-го разряда. Тестовые разряды 34 – 38 пользователем устанавливаются в нуль (описание тестовых режимов дано в таблице 10). Ввод каждого разряда сопровождается тактовым импульсом по входу Clk. При этом количество тактовых импульсов по входу Clk может быть больше 38-ми, но значимыми разрядами будут последние 38. Загрузка данных в сдвиговый регистр происходит по отрицательному фронту сигнала синхронизации Clk. После окончания загрузки 38-го разряда в сдвиговый регистр ввод управляющего кода в регистр хранения производится по поступлению на вход W “1”. При этом биты с 1 – 25 загружаются по уровню «1» сигнала W, а биты с 26 – 38 по заднему фронту W (см. рисунок 2).

Примеры загружаемых чисел даны в таблице 8.

6.2 Расширенный коэффициент деления опорного сигнала

Коэффициент деления опорной частоты f_{REF} по входу OSC1 (6) задается через управляющее слово на входе D_i (4) согласно таблице 5 (биты K_{REF4} , K_{REF3} , K_{REF2} , K_{REF1} , K_{REF0}).

6.3 Управление функцией входа/выхода f_{div2} , f_{div3}

В микросхемах предусмотрено использование фазового детектора в отдельности от всех остальных частей микросхем. Для этого необходимо перейти в режимы K_b и K_{po} (см. таблицу 3) и подать сигналы на входы F_{div2} и F_{div3} .

6.4 Управление полярностью фазового детектора

При выставленном управляющем разряде $K_p = 1$ полярность выводов фазового детектора меняется на противоположную. На рисунке 3 представлена диаграмма прямой и обратной полярности фазового детектора.

6.5 Управление токовым выходом фазового детектора

В микросхемах предусмотрен режим токового выхода фазового детектора (ФД). Для этого необходимо переключиться в режим KIt (см. таблицу 3) и на выход Fd2 (Down) подключить резистор на шину «Общий». Для проверки тока утечки фазового детектора предусмотрен режим Kz перехода фазового детектора в высокоимпедансное состояние.

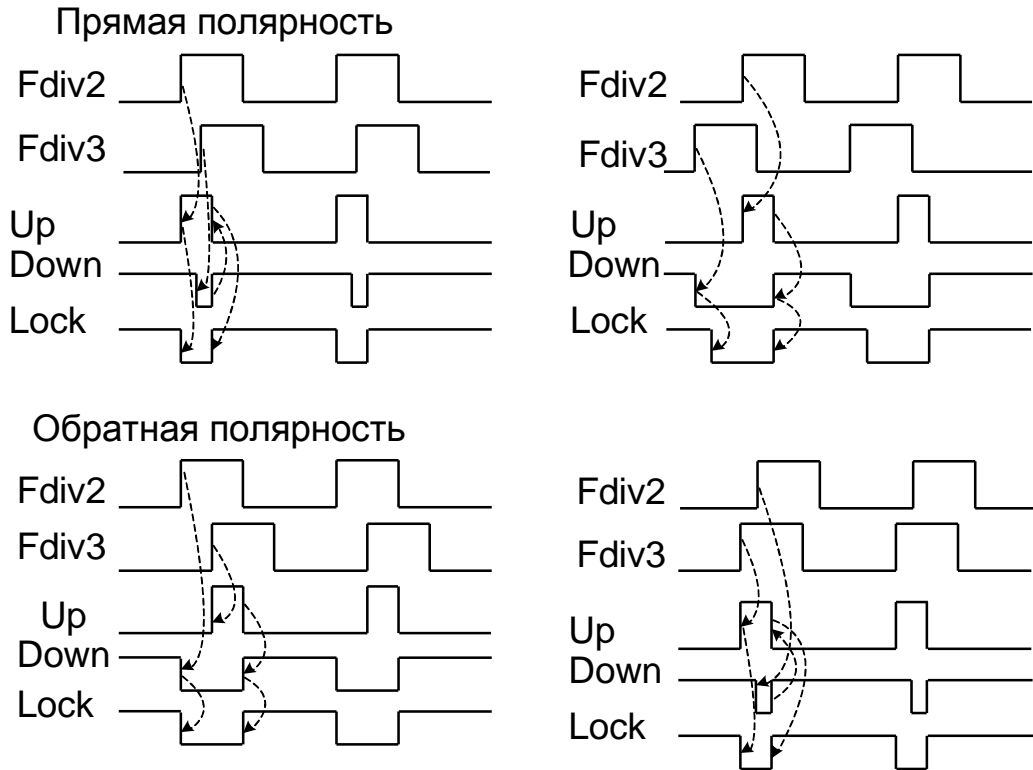


Рисунок 3 – Диаграмма прямой и обратной полярности фазового детектора

6.6 Управление шириной мертвой зоны

В микросхеме предусмотрено управление величиной «мертвой зоны», как указано в таблице 6 и определяется потребителем. На рисунке 4 представлена диаграмма, поясняющая значение «мертвой зоны» при прямой полярности фазового детектора.

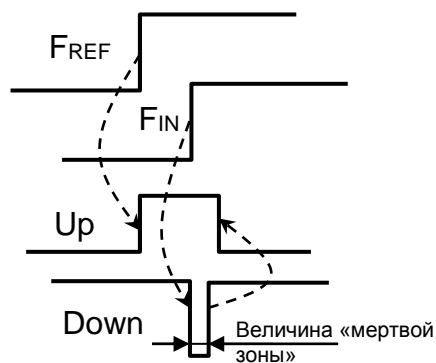


Рисунок 4 – Диаграмма к пояснению термина «мертвой зоны»

6.7 Управление выходами

В микросхеме предусмотрен управляющий разряд Кок, который переводит все выходы (см. таблицу 5) в активные логические состояния (КМОП выходы), т.е. для получения выходного сигнала не требуется внешних резисторов.

6.8 Управление режимом работы генератора опорного сигнала

Для работы с цифровым сигналом опорной частоты до 50 МГц необходимо перевести бит 37 в «1». При этом сигнал идет в обход усилителя кварцевого осциллятора.

6.9 Описание сигналов микросхемы 1508ПЛ10Б

Вывод Fdiv1

Вывод Fdiv1 используется как выход предварительного делителя опорной частоты с коэффициентом деления определяемым управляющим кодом (см. таблицу 5). В микросхемах тип выхода (КМОП – выход или выход с открытым стоком) задается битом № 28 (Кок) регистра управления (см. таблицу 3). При Кок = лог «0» вывод Fdiv1 является выходом с открытым стоком. Рекомендуемый нагрузочный резистор не менее 4 кОм.

Вывод Fdiv2

Вывод Fdiv2 используется как выход делителя опорной частоты с заданным в управляющем регистре коэффициентом деления (см. таблицу 5) или как независимый вход опорной частоты фазового детектора. В микросхемах функциональное назначение вывода Fdiv2 задается битом № 30 (Кb) регистра управления. При Kb = лог «0» вывод Fdiv2 является выходом. Тип выхода (КМОП – выход или выход с открытым стоком) задается битом № 28 (Кок) регистра управления (см. таблицу 3). При Кок = лог «0» вывод Fdiv2 является выходом с открытым стоком.

Вывод Fdiv3

Вывод Fdiv3 используется как выход делителя основной частоты с заданным в управляющем регистре коэффициентом деления или как независимый вход основной частоты фазового детектора. В микросхемах функциональное назначение вывода Fdiv3 задается битом № 27 (Кро) регистра управления. При Кро = лог «0» вывод Fdiv3 является выходом. Тип выхода (КМОП – выход или выход с открытым стоком) задается битом № 28 (Кок) регистра управления (см. таблицу 3). При Кок = лог «0» вывод Fdiv3 является выходом с открытым стоком.

Вывод Fd1

Вывод Fd1 используется как контрольный выход Lock фазового детектора. В микросхемах тип выхода (КМОП – выход или выход с открытым стоком) задается битом № 28 (Кок) регистра управления. При Кок = лог «0» вывод Fd1 является выходом с открытым стоком.

Вывод Fd2

Вывод Fd2 используется как выход Down фазового детектора или как вход задания выходного тока фазового детектора. Функциональное назначение вывода Fd2 задается битом №26 (КIt) регистра управления (см. таблицу 3). При КIt= лог «0»

вывод Fd2 является выходом, при KIt= лог «1» вывод Fd2 является входом. Рабочий ток фазового детектора определяется по формуле $I_{FD}=3V/R_{in}$. Рекомендуемое значение внешнего резистора от 2 до 30 кОм. Резистор подключается к общему выводу.

В микросхемах при KIt= лог «0» тип выхода (КМОП – выход или выход с открытым стоком) задается битом № 28 (Kок) регистра управления. При Kок = лог «0» вывод Fd2 является выходом с открытым стоком.

Вывод Fd3

Вывод Fd3 используется как выход U_p фазового детектора. В микросхемах тип выхода (КМОП – выход или выход с открытым стоком) задается битом № 28 (Kок) регистра управления (см. таблицу 3). При Kок= лог «0» вывод Fd3 является выходом с открытым стоком и активной лог. «1» (выходной транзистор P-типа).

Тестовые режимы используются только для тестирования микросхем

7 Распределение содержимого управляющего кода

Таблица 2 – Распределение содержимого управляющего кода

ИС	Разряды регистра	Разряды управляющего кода	Значение после включения питания	Принадлежность
1508ПЛ10Б	38	T_Amp_pres	0	Тестовый режим
	37	T_Fop_o	0	Разряд управления
	36	T_vr	0	Тестовые режимы
	35	T_Pd	0	
	34	T_Del_m	0	
	33	Kz	0	
	32	FD1	0	
	31	FD0	0	Разряды управления
	30	Kb	0	
	29	Kp	0	
	28	Kok	0	
	27	Kpo	0	
	26	Klt	0	
	25	K _{REF4}	1	
	24	K _{REF3}	0	
	23	K19	0	Дополнительные старшие четыре разряда коэффициента деления основного канала
	22	K18	0	
	21	K17	0	
20	K16	0		
1508ПЛ10А 1508ПЛ10Б	19	K _{REF2}	1	Коэффициент деления опорного канала
	18	K _{REF1}	1	
	17	K _{REF0}	1	
	16	K15	0	Коэффициент деления основного канала
	15	K14	0	
	14	K13	0	
	13	K12	0	
	12	K11	0	
	11	K10	0	Коэффициент деления основного канала
	10	K9	0	
	9	K8	0	
	8	K7	1	
	7	K6	1	
	6	K5	1	
	5	K4	1	
	4	K3	0	
	3	K2	0	
	2	K1	0	
1	K0	0		

8 Значение управляющих разрядов

Таблица 3 – Значение управляющих разрядов
(33–26 разряды управляющего кода)

Обозначение	Разряд управляющего кода	Значение
T_Amp_pres	38	Тестовый режим. Включение режима при применении не допускается. 0 – режим выключен 1 – режим включен
T_Fop_o	37	Обход усилителя кварцевого осциллятора 0 – стандартный режим 1 – обход
T_vr	36	Тестовый режим. Включение режима при применении не допускается. 0 – режим выключен 1 – режим включен
T_Pd	35	Тестовый режим. Включение режима при применении не допускается. 0 – режим выключен 1 – режим включен
T_Del_m	34	Тестовый режим. Включение режима при применении не допускается. 0 – режим выключен 1 – режим включен
Kz	33	Разряд управления «Z–состоянием» фазового детектора. 0 – режим выключен 1 – режим включен
FD1, FD0	32, 31	Соответствие кода FD1, FD0 и ширины импульса «мертвой зоны» приведено в таблице 6
Kb	30	Разряд управления функцией вывода Fdiv2(14) 0 – вывод работает как выход 1 – вывод работает как вход
Kp	29	Разряд управления полярностью выводов ФД. 0 – прямая полярность 1 – обратная полярность
Kok	28	Разряд управления типом выводов. 0 – открытый сток (см. назначение выводов) 1 – КМОП выход
Kpo	27	Разряд управления функцией вывода Fdiv3(9). 0 – вывод работает как выход 1 – вывод работает как вход
Klt	26	Разряд управления источником тока. 0 – источник тока на выводах ФД выключен 1 – источник тока на выводах ФД включен В этом режиме ФД имеет один выход, а к выходу Fd2 (Down) должен быть подключен внешний токозадающий резистор.

9 Коэффициенты деления опорного канала

Таблица 4 – Коэффициенты деления опорного канала на выходе Fdiv2 микросхем 1508ПЛ10А

K_{REF2}	K_{REF1}	K_{REF0}	Коэффициент
0	0	0	1600
0	0	1	800
0	1	0	400
0	1	1	200
1	0	0	2000
1	0	1	1000
1	1	0	500
1	1	1	100

Таблица 5 – Коэффициенты деления опорного канала для выходов Fdiv1 и Fdiv2 микросхем 1508ПЛ10Б

K_{REF4}	K_{REF3}	Kdiv1	K_{REF2}	K_{REF1}	K_{REF0}	Kdiv2
0	0	10	0	0	0	160
0	0		0	0	1	80
0	0		0	1	0	40
0	0		0	1	1	20
0	0		1	0	0	200
0	0		1	0	1	100
0	0		1	1	0	50
0	0		1	1	1	10
0	1	80	0	0	0	1280
0	1		0	0	1	640
0	1		0	1	0	320
0	1		0	1	1	160
0	1		1	0	0	1600
0	1		1	0	1	800
0	1		1	1	0	400
0	1		1	1	1	80
1	0	100	0	0	0	1600
1	0		0	0	1	800
1	0		0	1	0	400
1	0		0	1	1	200
1	0		1	0	0	2000
1	0		1	0	1	1000
1	0		1	1	0	500
1	0		1	1	1	100

K_{REF4}	K_{REF3}	Kdiv1	K_{REF2}	K_{REF1}	K_{REF0}	Kdiv2
1	1	125	0	0	0	2000
1	1		0	0	1	1000
1	1		0	1	0	500
1	1		0	1	1	250
1	1		1	0	0	2500
1	1		1	0	1	1250
1	1		1	1	0	625
1	1		1	1	1	125

Примечания:

- 1 Kdiv1 – коэффициент деления для выхода Fdiv1.
- 2 Kdiv2 – коэффициент деления для выхода Fdiv2.

10 Соответствие кода FD1, FD0 и ширины импульса «мертвой зоны» для микросхемы 1508ПЛ10Б

Таблица 6 – Соответствие кода FD1, FD0 и ширины импульса «мертвой зоны» микросхем 1508ПЛ10Б

FD1	FD0	Ширина импульса, нс
0	0	17
0	1	29
1	0	52
1	1	100

11 Примеры соответствия заданных коэффициентов деления

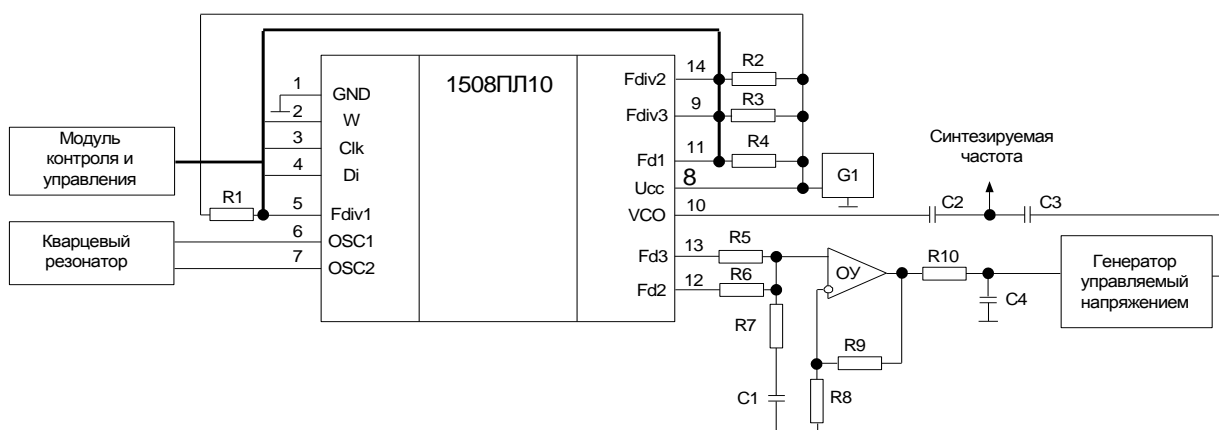
Таблица 7 – Примеры соответствия заданных коэффициентов деления основного канала загружаемому слову для микросхемы 1508ПЛ10А

К4 – К15 (12-ти разрядный счетчик-делитель)	К0 – К3 (поглощающий счетчик-делитель)	К
15	0	240
15	1	241
16	0	256
128	0	2 048
255	15	4 095
256	0	4 096
2 048	0	32 768
4 095	0	65 535

Таблица 8 – Примеры соответствия заданных коэффициентов деления основного канала загружаемому слову микросхемы 1508ПЛ10Б

К4 – К19 (16-ти разрядный счетчик-делитель)	К0 – К3 (поглощающий счетчик-делитель)	К
15	0	240
4 095	0	65 535
4 096	0	65 536
65 535	15	1 048 575

12 Типовые схемы включения микросхем

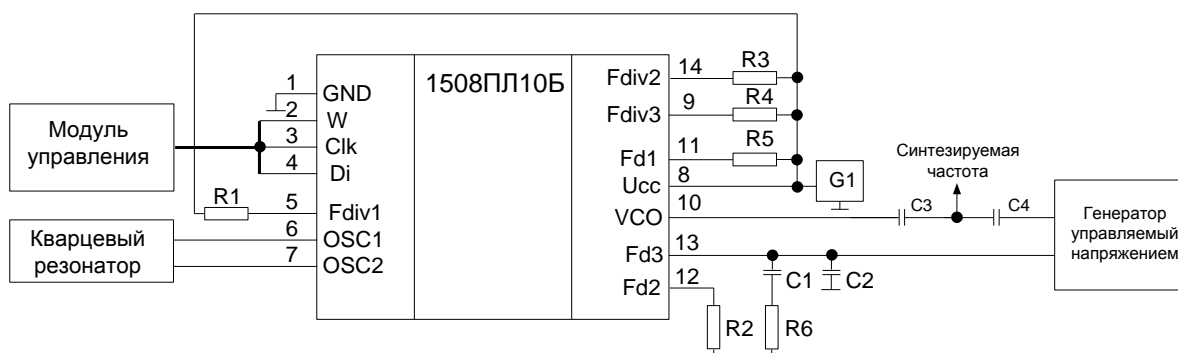


- 1508ПЛ10 – включаемая микросхема;
 G1 – источник постоянного напряжения, $U_{CC} = 5 \text{ В} \pm 10 \%$;
 ОУ – операционный усилитель;
 C1, C4 – конденсаторы фильтра;
 C2, C3 – разделительные конденсаторы, $C2 = C3$;
 R1 – R10 – резисторы, $R1 = 6,8 \text{ кОм}$;
 $R2 = R3 = R4 = R5 = R6 = 3,6 \text{ кОм} \pm 1 \%$;
 R7 – R10 – резисторы фильтра.

Рисунок 5 – Типовая схема включения микросхем 1508ПЛ10А(Б) с внешним кварцевым резонатором и полным контролем работы микросхем

Примечания:

- 1 Если не требуется контроль частоты на выводе Fdiv1 (5), вывод рекомендуется оставлять не подключенным.
- 2 Параметры фильтра определяются в зависимости от требуемых характеристик системы ФАПЧ.



- 1508ПЛ10Б – включаемая микросхема;
 G1 – источник постоянного напряжения, $U_{CC} = 5 \text{ В} \pm 10 \%$;
 C1, C2 – конденсаторы фильтра,
 $C1 = 10 \text{ нФ} \pm 5\%$;
 $C2 = 100 \text{ нФ} \pm 5\%$;
 C3, C4 – разделительные конденсаторы, $C3 = C4$;
 R1–R6 – резисторы, $R1 = 6,8 \text{ кОм}$;
 $R2 = 3,0 \text{ кОм} \pm 1 \%$;
 $R3 = R4 = R5 = R6 = 3,6 \text{ кОм}$

Рисунок 6 – Типовая схема включения микросхемы 1508ПЛ10Б с токовым выходом фазового детектора при $K_{ок} = 0$

13 Типовые зависимости

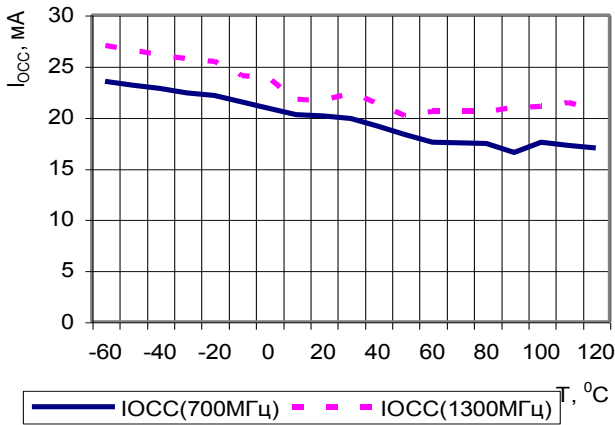


Рисунок 8 – Зависимость динамического тока потребления от температуры, при частоте основного сигнала 700 МГц и 1300 МГц

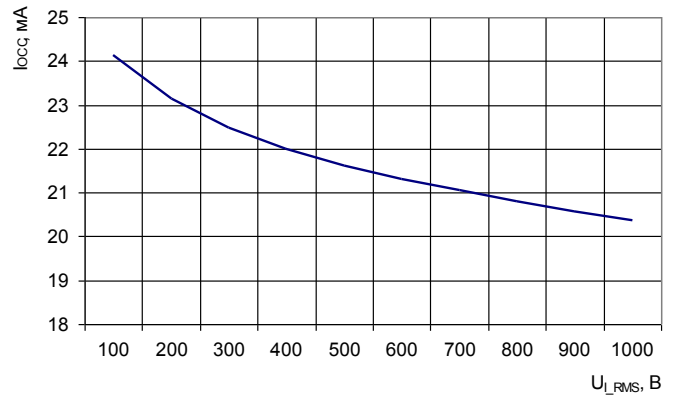


Рисунок 9 – Зависимость динамического тока потребления от среднеквадратичного значение входного напряжения, при: $f = 1300$ МГц, $U_{cc} = 5,5$ В

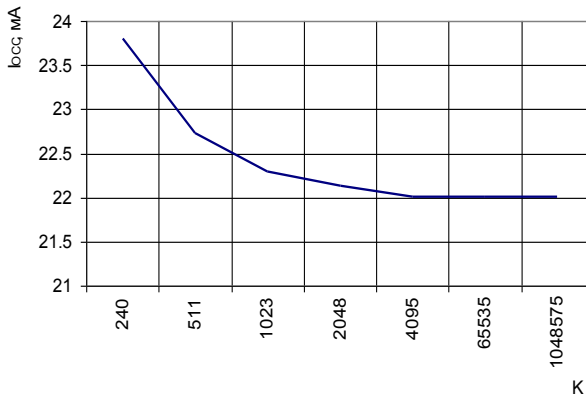


Рисунок 10 – Зависимость динамического тока потребления от коэффициента деления, при: $f = 1300$ МГц, $U_{L_RMS} = 0,4$ В

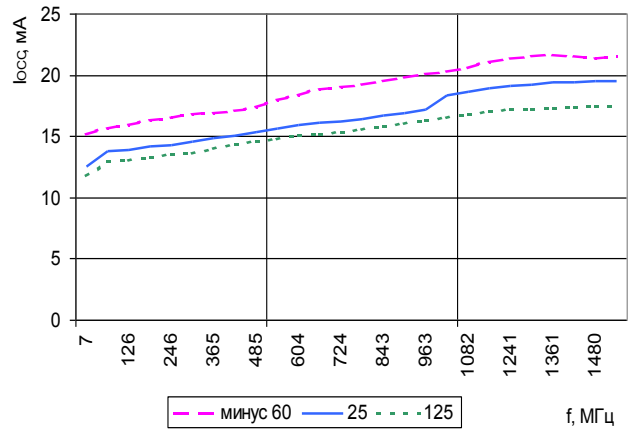


Рисунок 11 – Зависимость динамического тока потребления от частоты основного сигнала, при: $U_{cc} = 4,5$ В

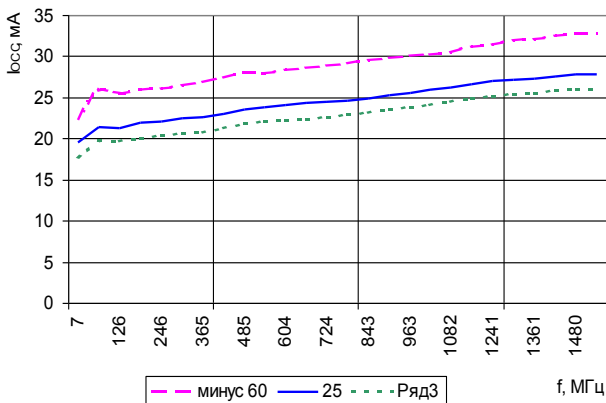


Рисунок 12 – Зависимость динамического тока потребления от частоты основного сигнала, при: $U_{cc} = 5,5$ В

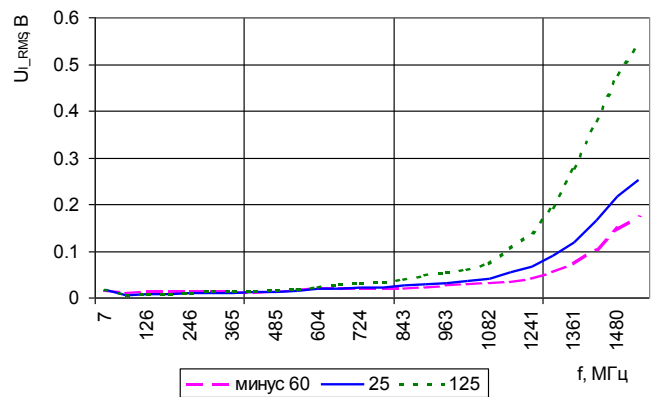


Рисунок 13 – Зависимость среднеквадратичного значение входного напряжения от частоты основного сигнала, при: $U_{cc} = 4,5$ В

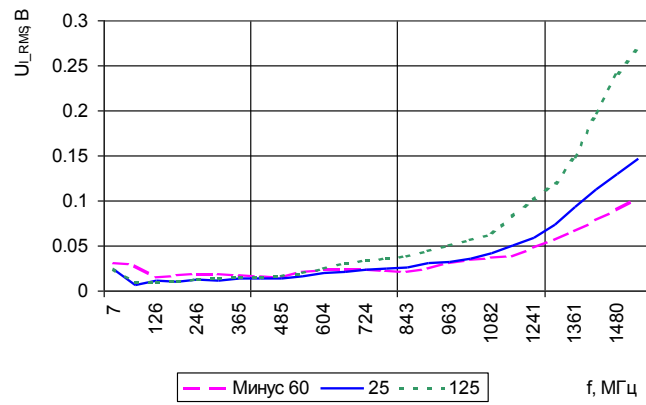
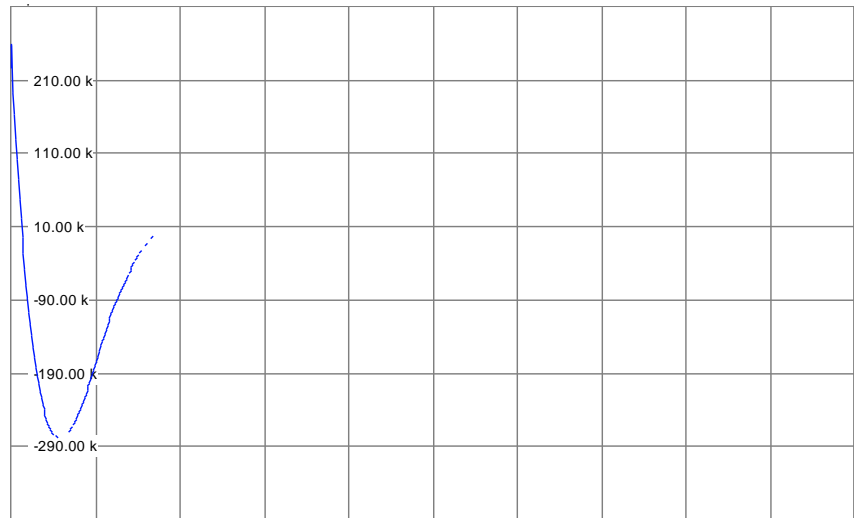


Рисунок 14 – Зависимость среднеквадратичного значение входного напряжения от частоты основного сигнала, при: $U_{CC} = 5,5$ В

14 Зависимости, полученные в результате измерений синтезатора частоты, построенного на микросхеме 1508ПЛ10Б на демонстрационной плате EVAL 16а

Девияция частоты, кГц



Время, мс

Рисунок 15 – Временная диаграмма перестройки синтезатора с частоты 400 МГц на частоту 500 МГц (ток схемы накачки 500 мкА; частота сравнения 100 кГц)

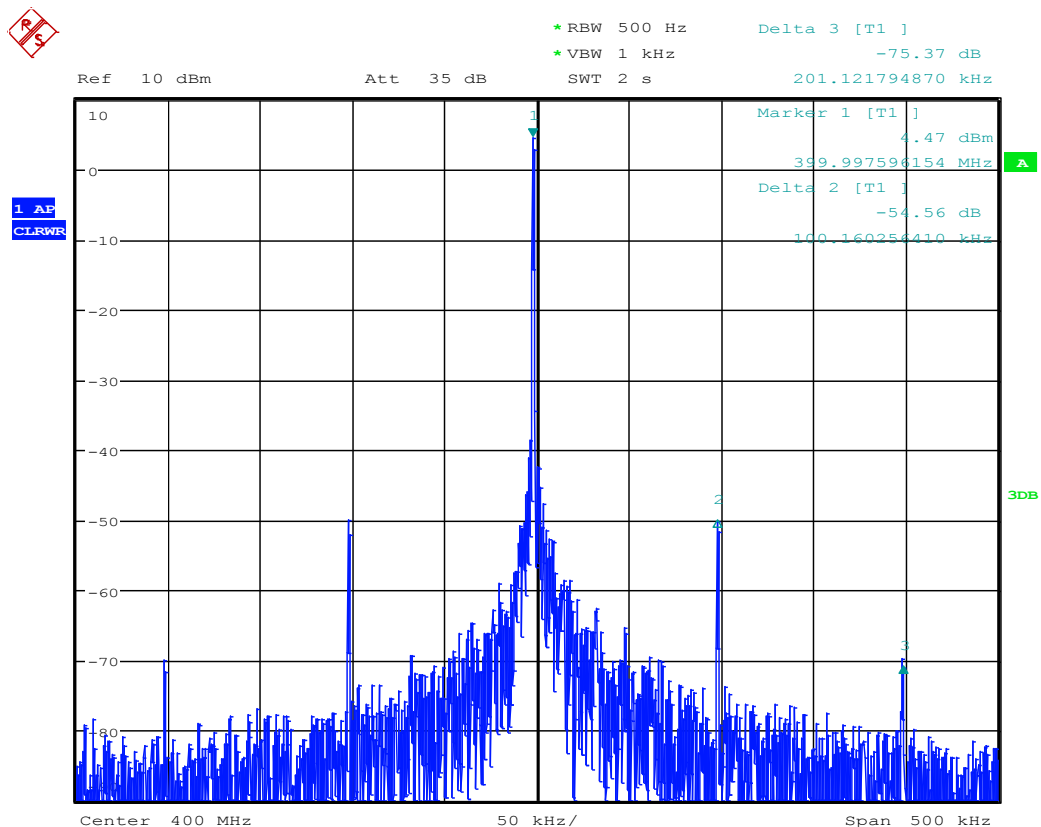
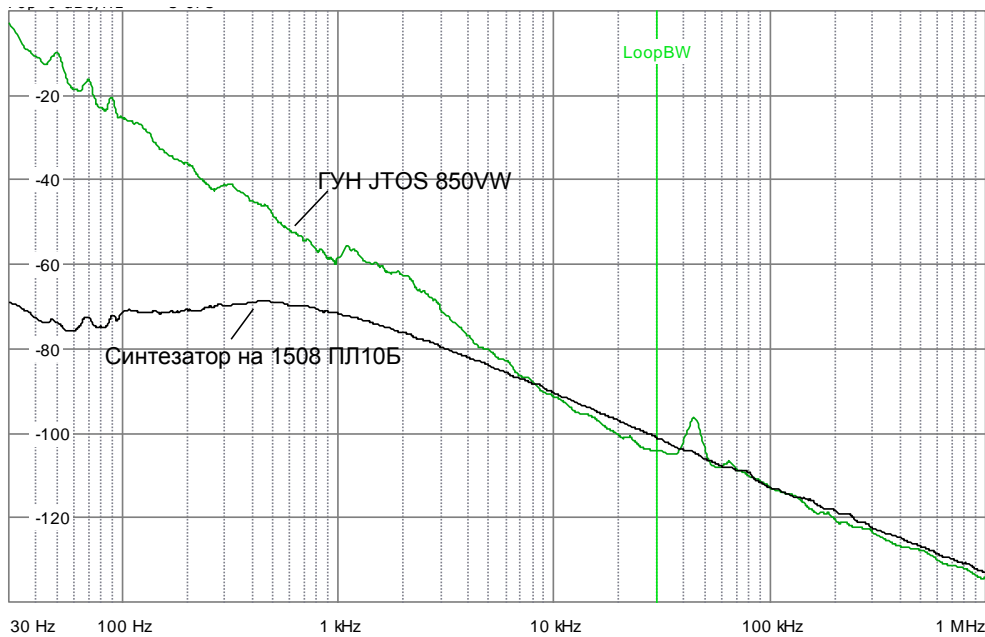


Рисунок 16 – Спектр выходного сигнала синтезатора (частота 400 МГц; частота сравнения 100 кГц)

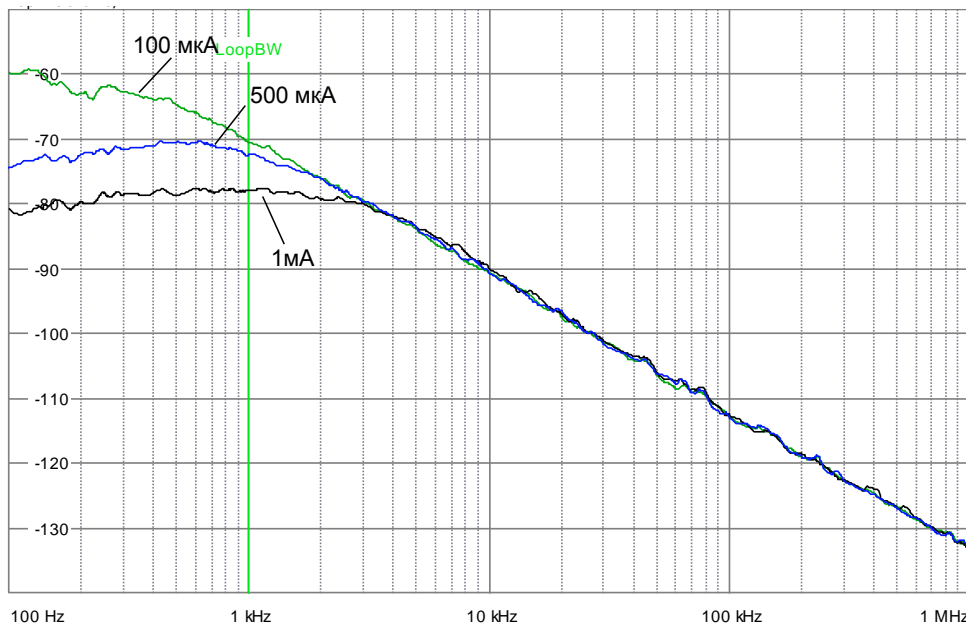
Спектральная плотность мощности
фазового шума, дБн/Гц



Отстройка, Гц

Рисунок 17 – Фазовый шум ГУН и синтезатора (частота 400 МГц, ток схемы накачки 500 мкА, частота сравнения 100 кГц)

Спектральная плотность мощности
фазового шума, дБн/Гц



Отстройка, Гц

Рисунок 18 – Фазовый шум синтезатора при различных токах схемы накачки (частота 400 МГц, частота сравнения 100 кГц)

15 Предельно-допустимые характеристики микросхемы

Таблица 9 – Предельно-допустимые и предельные режимы эксплуатации микросхем

Наименование параметра, единица измерения	Буквенное обозначение параметра	Норма параметра			
		Предельно допустимый режим		Предельный режим	
		не менее	не более	не менее	не более
1508ПЛ10А(Б)					
Напряжение питания, В	U_{CC}	4,5	5,5	–	7,0
Входное напряжение низкого уровня по цифровым выводам, В	U_{IL}	–	0,8	– 0,3	–
Входное напряжение высокого уровня по цифровым выводам, В	U_{IH}	2,4	–	–	$U_{CC}+0,3$
Среднеквадратичное значение входного напряжения, В, на выводе 10, при: $10 \text{ МГц} \leq f \leq 1 \text{ 100 МГц}$	U_{I_RMS}	0,2	$\frac{U_{CC}}{2 \cdot \sqrt{2}}$	– 0,3*	$U_{CC}+0,3^*$
при: $1 \text{ 100 МГц} < f \leq 1 \text{ 300 МГц}$		0,4			
Среднеквадратичное значение входного напряжения опорного сигнала, В, на выводе 6, при: $4 \text{ МГц} \leq f_{REF (RMS)} \leq 15 \text{ МГц}$	$U_{RMS_ (REF)}$	0,15	$\frac{U_{CC}}{2 \cdot \sqrt{2}}$	– 0,3*	$U_{CC}+0,3^*$
при: $2 \text{ МГц} \leq f_{REF (RMS)} < 4 \text{ МГц}$		0,4			
Частота основного сигнала, МГц	f	10	1300	–	–
Частота опорного сигнала при входном сигнале $U_{RMS_ (OSC1)}$, МГц	$f_{RMS_ (REF)}$	2,0	15	–	–
Частота сигнала синхронизации ввода данных в сдвиговый регистр, МГц	f_{CLK}	–	5,0	–	–
Длительность высокого уровня сигнала записи W, нс, на выводе 2	t_{WH_W}	400	–	–	–
Время установления данных относительно сигнала W, нс	$t_{SU(D-W)}$	100	–	–	–
Время установления сигнала W относительно сигнала CLK, мкс	$t_{SU(CLK-W)}$	50	–	–	–
Емкость нагрузки, пФ	C_L	–	25	–	–
1508ПЛ10А					
Частота опорного сигнала при входном цифровом сигнале, МГц, при: $U_{IL} < 0,1 \cdot U_{CC}$, $U_{IH} > 0,9 \cdot U_{CC}$	f_{REF}	–	15	–	–
1508ПЛ10Б					
Частота опорного сигнала при входном цифровом сигнале, МГц, при: $T_{For_o} = 1$, $U_{IL} < 0,2 \cdot U_{CC}$, $U_{IH} > 0,8 \cdot U_{CC}$	f_{REF}	–	50	–	–

Наименование параметра, единица измерения	Буквенное обозначение параметра	Норма параметра			
		Предельно допустимый режим		Предельный режим	
		не менее	не более	не менее	не более
Частота следования импульсов в режиме “входов”, МГц, на выводе 14, 9	f _{DIV}	–	5,0	–	–
* Указано значение постоянного напряжения. П р и м е ч а н и е – Не допускается одновременное воздействие нескольких предельных режимов.					

Стойкость к воздействию статического электричества 2 кВ.

16 Электрические параметры микросхемы

Таблица 10 – Электрические параметры микросхем при приемке и поставке

Наименование параметра, единица измерения, режим измерения	Буквенное обозначение параметра	Норма параметра		Температура среды, °С
		не менее	не более	
1508ПЛ10А(Б)				
Входной ток низкого уровня на цифровых выводах, мкА, при: $U_I = 0$ В, $U_{CC} = 5,5$ В, на выводах 2, 3, 4	I_{IL_C}	–	$ \pm 1,0 $	25, 125, минус 60
Входной ток высокого уровня на цифровых выводах, мкА, при: $U_I = 5,5$ В, $U_{CC} = 5,5$ В, на выводах 2, 3, 4	I_{IH_C}	–	$ \pm 5,0 $	25, 125, минус 60
Входной ток высокого и низкого уровней на аналоговых выводах, мкА, при: $U_I = 5,5$ В, $U_{CC} = 5,5$ В, на выводе 6	I_{IH_A} I_{IL_A}	–	$ \pm 50 $	25, 125, минус 60
Динамический ток потребления, мА, при: $U_{CC} = 5,5$ В, $f_{REF (RMS)} = 15$ МГц, $f = 700$ МГц, на выводе 8	I_{OCC}	–	34	25, 125, минус 60
при: $U_{CC} = 5,5$ В, $f_{REF (RMS)} = 15$ МГц, $f = 1\,300$ МГц, на выводе 8		–	45	25, 125, минус 60
Статический ток потребления, мА, при: $U_{CC} = 5,5$ В, на выводе 8	I_{CC}	–	60	25, 125, минус 60
Ток утечки низкого уровня на входе VCO, мкА, при: $U_{CC} = 5,5$ В, на выводе 10	I_{ILL}	–	15	25, 125, минус 60
1508ПЛ10А				
Выходное напряжение низкого уровня, В, при: $U_{CC} = 4,5$ В, $I_{OL} = 0,8$ мА, на выводах: Fdiv1 (5), Fd2 (12); при: $U_{CC} = 4,5$ В, $I_{OL} = 1,6$ мА, на выводах: Fdiv2(14), Fdiv3(9), Fd1(11)	U_{OL}	–	0,45	25, 125, минус 60
Выходное напряжение высокого уровня, В, при: $U_{CC} = 4,5$ В, $I_{OH} = 0,8$ мА, на выводе 13	U_{OH}	4,05	–	25, 125, минус 60
Коэффициент деления основной частоты, при: $U_{CC} = 4,5$ В, $f = 1\,300$ МГц	K	240	65 535	25, 125, минус 60
Коэффициент деления опорной частоты, при: $U_{CC} = 4,5$ В, $f_{REF (RMS)} = 15$ МГц	K_{REF}	100	2 000	25, 125, минус 60
1508ПЛ10Б				
Выходное напряжение низкого уровня, В, при: $U_{CC} = 4,5$ В, $I_{OL} = 0,8$ мА, на выводах: Fdiv1 (5), Fd2 (12), Fd3 (13); при: $U_{CC} = 4,5$ В, $I_{OL} = 1,6$ мА, на выводах: Fdiv2(14), Fdiv3(9), Fd1(11)	U_{OL}	–	0,45	25, 125, минус 60

Наименование параметра, единица измерения, режим измерения	Буквенное обозначение параметра	Норма параметра		Температура среды, °С
		не менее	не более	
Выходное напряжение высокого уровня, В, при: $U_{CC}= 4,5$ В, $I_{OL}= 0,8$ мА, на выводах: Fdiv1 (5), Fd2 (12), Fd3 (13); при: $U_{CC}= 4,5$ В, $I_{OL}= 1,6$ мА, на выводах: Fdiv2(14), Fdiv3(9), Fd1(11)	U_{OH}	4,05	–	25, 125, минус 60
Выходной ток фазового детектора в режиме токового выхода, мА, при: $U_{CC}= 5,5$ В, $R_{ВН}=3,65$ кОм, на выводе 12, на выводе 13	I_{O_FD}	0,79	0,92	25 125, минус 60
Ток утечки фазового детектора в режиме токового выхода, нА, при: $U_{CC}= 5,5$ В, на выводе 13	I_{OL_FD}	–	5,0	25
		–	100	125, минус 60
Относительная погрешность втекающего и вытекающего тока фазового детектора в режиме токового выхода относительно среднего значения, %, при: $U_{CC}= 5,5$ В, $U_I= U_{CC}/2$ В, на выводе 13	ΔX_{FD}	–	2,0	25, 125, минус 60
Коэффициент деления основной частоты, при: $U_{CC}= 4,5$ В, $f= 1\,300$ МГц	K	240	1 048 57 5	25, 125, минус 60
Коэффициент деления опорной частоты, при: $U_{CC}= 4,5$ В, $f_{REF (RMS)}= 15$ МГц	K_{REF}	100	2 500	25, 125, минус 60
<p>Примечания:</p> <p>1 Значения коэффициента деления опорной частоты приведены в таблицах 4 5.</p> <p>2 Режимы измерения параметров приведены в ТСКЯ.431322.002Д.</p>				

18 Информация для заказа

Обозначение микросхемы	Маркировка	Тип корпуса	Температурный диапазон
1508ПЛ10АТ1	ПЛ10АТ1	4105.14-16	минус 60 – 125 °С
К1508ПЛ10АТ1	КПЛ10АТ1	4105.14-16	минус 60 – 125 °С
К1508ПЛ10АТ1К	КПЛ10АТ1●	4105.14-16	0 – 70 °С
1508ПЛ10БТ1	ПЛ10БТ1	4105.14-16	минус 60 – 125 °С
К1508ПЛ10БТ1	КПЛ10БТ1	4105.14-16	минус 60 – 125 °С
К1508ПЛ10БТ1К	КПЛ10БТ1●	4105.14-16	0 – 70 °С

Микросхемы с приемкой «ВП» маркируются ромбом.
 Микросхемы с приемкой «ОТК» маркируются буквой «К».

Лист регистрации изменений

№ п/п	Дата	Версия	Краткое содержание изменения	№№ изменяемых листов
1	05.02.2010	2.1	1. Изменена ссылка на таблицу 4 2. Отредактирована подпись к рис.3 3. Рисунки 6, 7 приведены в соответствие с ТУ 4. Добавлен лист регистрации	4, 5, 9, 10
2	26.03.2010	2.2	Корректировка на основании планового пересмотра документации	-
3	20.04.2010	2.3	Отработка спецификации	67,12,16,18,19
4	27.04.2010	2.4	Замена логотипа	1
5	29.09.2010	2.5	Внесение дополнительных зависимостей	20
6	13.01.2011	2.6	Отработка схем включения совместно с потребителем (Рис. 3, 6, 7)	5, 9, 10
7	09.03.2011	2.7	Введены модификации микросхем в новом корпусе	23, 24
8	04.10.2011	2.8	Уточнение наименования микросхем	По тексту
9	23.09.2016	2.9.0	Исключены типономиналы (К)1508ПЛ10А(Б)Т(К). Добавлен раздел «Указания по применению и эксплуатации». Выполнено форматирование, добавлены перекрестные ссылки.	По тексту 3 По тексту